

УДК 532.5:532.135:536.24:537.84

З. П. Шульман, В. И. Кордонский, С. Р. Городкин

## ТУРБУЛЕНТНОЕ ТЕЧЕНИЕ И ТЕПЛООБМЕН МАГНИТОРЕОЛОГИЧЕСКИХ СУСПЕНЗИЙ

Широкие возможности управления процессами переноса открывает использование в качестве рабочих сред гетерогенных систем с перестраиваемой магнитным полем структурой — неколлоидных суспензий ферромагнитных частиц, известных под названием магнитореологических (МРС) [1]. В настоящее время достаточно полно установлены закономерности ламинарных течений и тепломассообмена в МРС и на этой основе предложены новые технологические процессы и аппараты [1—3].

В то же время значительный интерес представляет исследование возможности магнитореологического управления процессами переноса в турбулентных течениях, характерных для многих технологических циклов и отличающихся от ламинарных случайным характером напряженного состояния среды в пространстве и времени.

В качестве объекта исследования выбран турбулентный поток малоизонтирированной МРС в канале круглого сечения. При этом ставилось условие, чтобы в отсутствие магнитного поля частицы дисперсной фазы почти без отставания следовали за пульсирующими элементарными объемами несущей жидкости, практически не влияя на характер ее движения. Известно, что это выполняется, когда [4, с. 194]

$$\frac{d}{D} \sqrt{\left| \frac{\rho_s}{\rho} - 1 \right|} \sqrt{Re} \leqslant 0,2, \quad (1)$$

где  $d$  — средний размер частиц,  $D$  — диаметр канала;  $\rho_s$  и  $\rho$  — плотность частиц и несущей жидкости.

Влияние магнитного поля на интегральные характеристики (гидросопротивление и теплоотдачу на стенке) турбулентного потока МРС изучалось на установке, схема которой представлена на рис. 1. Рабочей средой служила слабоконцентрированная ( $c_{ob} \leqslant 1\%$ ) водная суспензия ферромагнитных сферических частиц карбонильного железа Р-10 ( $d \sim 3,5$  мкм,  $\rho_s = 7,8$  г/см<sup>3</sup>). Измерительный участок 1 — медная труба внутренним диаметром  $D=8$  мм и длиной  $L=1$  м с электронагревателем 2 на наружной поверхности, создающим постоянный тепловой по-

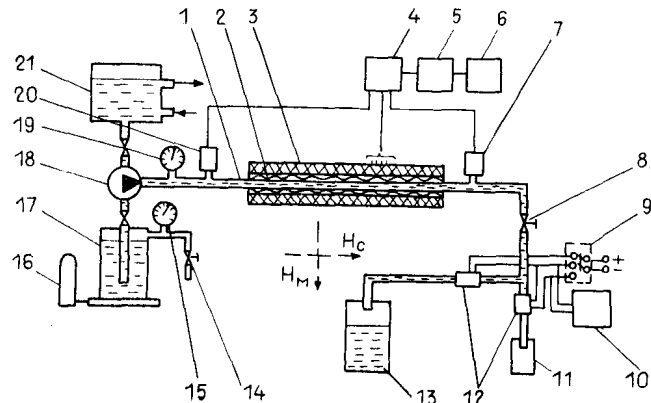


Рис. 1. Схема установки.

ток (граничные условия второго рода), и теплоизоляцией 3. На вход насоса 18 поступала термостатированная вода из расходного бака 21 и подавалась с помощью сжатого воздуха из напорного бака 17 концентрированная водная МРС ( $c_{об}=40\%$ ), стабилизированная низкомолекулярной натриевой солью карбоксилметилцеллюлозы Нa-КМЦ (1 масс. %). Расслоение суспензии предотвращалось перемешиванием на встряхивающей машине 16. На выходе из насоса создавался поток разбавленной МРС, концентрация которой однозначно связана с давлением воздуха в баке 17, регулируемым краном 14 и контролируемым манометром 15. После прохождения измерительного участка суспензия попадала в сливной бак 13, где происходило отделение твердой фазы для ее повторного использования. Расход МРС устанавливался вентилем 8, контролировался по давлению на входе в трубу манометром 19 и измерялся объемным способом с помощью мерной емкости 11 и коммутирующего ключа 9, управляющего сигналом на электроклапаны 12, работающие в противофазе: «открыт—закрыт». Синхронно ключ включал и выключал электронные часы 10, измеряющие промежуток времени, в течение которого наполнялась емкость 11. Измерительный участок находился в зоне действия однородного магнитного поля, создаваемого электромагнитом ( $H_m$ , поперечное поле) или соленоидом ( $H_c$ , продольное поле). Гидросопротивление канала 1 (перепад давления  $\Delta p$ ) определялось по разности показаний индукционных датчиков давления 7 и 20. Термопарами измерялись температуры МРС на входе и выходе канала, стенки канала, внутренней и наружной поверхности изоляции. Сигналы с термопар, датчиков давления и сигналы, пропорциональные напряжению и току питания нагревателя, подавались на коммутатор 4, измерялись вольтметром 5 и регистрировались цифропечатающим устройством 6.

Предварительно была проведена тарировка установки с целью определения поправок к показаниям датчиков 20 (влияние поля) и зависимости между давлением на манометрах 19 и 15 и расходом и концентрацией МРС соответственно, причем определялась весовая концентрация  $c_v$  выпариванием воды из пробы суспензии и взвешиванием сухого остатка, а объемная — рассчитывалась по формуле  $c_{об}=1/1+\rho_s/\rho \times (1/c_v-1)$ . Отметим, что на всех режимах выполнялось неравенство (1).

Опыты проводились в следующей последовательности: через канал прокачивалась вода с расходом  $G$ , включался нагреватель, и после достижения стационарного режима на ленте цифропечати фиксировались все измеряемые параметры. Затем с таким же расходом создавался поток МРС и проводились аналогичные измерения с магнитным полем и без него. Варьировались напряженность магнитного поля  $H$ , концентрация и расход МРС, а искомые характеристики определялись по известным зависимостям: коэффициент гидравлического сопротивления

$$\xi = 2\Delta pgD/\omega^2\rho^*L, \quad (2)$$

где  $\omega = 4G/\pi D^2$  — среднеобъемная скорость потока;  $\rho^* = (1 - c_{об})\rho + c_{об}\rho_s$ ; интенсивность теплоотдачи на стенке

$$Nu = \alpha D/\lambda = (Q_{эл} - Q_{п})D/\overline{\Delta t}F\lambda; \quad (3)$$

здесь  $Q_{эл} = UI$  ( $U, I$  — напряжение и ток питания электронагревателя);  $Q_{п}$  — теплопотери через наружную поверхность изоляции;  $\overline{\Delta t}^* = t_{ст}^* - t_{м}^*$  — температурный напор;  $t_{ст}^* = 1/5 \sum_1^5 t_{ст}^i$  — средняя температура стенки трубы;  $t_{ст}^i$  — локальная температура стенки;  $t_{м} = 1/6 \left( \sum_1^3 t'_i + \sum_1^3 t''_i \right)$  — средняя температура МРС в канале;  $t'_i$  и  $t''_i$  — температура МРС на входе и выходе канала;  $F$  — поверхность теплообмена;  $\lambda$  — коэффи-

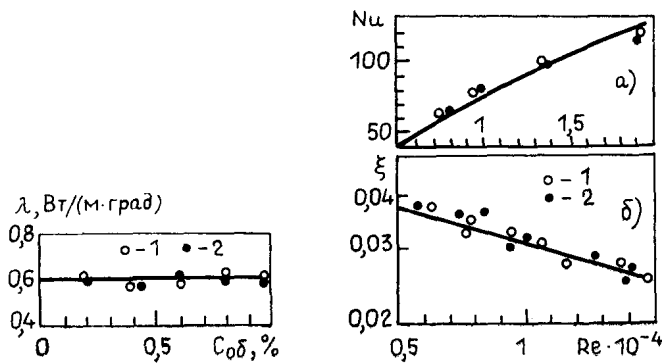


Рис. 2. Теплопроводность: 1 — вода; 2 — MPC.

Рис. 3. Теплоотдача (а) и гидросопротивление (б) потока MPC в отсутствие магнитного поля: 1 — вода; 2 — MPC.  $c_{0\delta}=1\%$ .

циент теплопроводности MPC. Отметим, что измерения  $\lambda$  для исследуемого диапазона концентраций MPC по методике [5] показали отсутствие заметного влияния частиц ферромагнетика на теплопроводность несущей жидкости — воды, равную  $0,6 \text{ Вт}/(\text{м}\cdot\text{град})$  при  $20^\circ\text{C}$  (рис. 2).

Опыты, проведенные в отсутствие магнитного поля, подтвердили, что малые количества невзаимодействующих частиц ( $c_{0\delta} \leq 1\%$ ), размер которых удовлетворяет неравенству (1), не влияют существенно на сопротивление и теплообмен турбулентного потока (рис. 3). На графиках точками нанесены экспериментальные данные, а линии построены по критериальным формулам [6]

$$Nu = 0,021 Re^{0,8} Pr^{0,43}; \quad \xi = 0,316 Re^{-0,25} \quad (4)$$

для течения чистой воды в трубе.

**1. Поперечное магнитное поле** резко изменяет характер течения. Как видно из рис. 4, значительно увеличивается гидросопротивление и интенсифицируется теплообмен ( $\beta = \xi_h/\xi$ ;  $\gamma = Nu_h/Nu$ ;  $\xi_h$ ,  $Nu_h$  — в магнитном поле), причем наблюдается линейный рост эффекта с увеличением концентрации.

На рис. 5 приведены зависимости  $\beta$  и  $\gamma$  от напряженности магнитного поля  $H$  и числа  $Re = \omega D \rho^*/\eta$  ( $\eta$  — вязкость воды). Эффект возрастает по закону, близкому к квадратичному, с увеличением  $H$  и уменьшается по такому же закону с ростом  $Re$ . Поэтому логично предположить, что эффект зависит от соотношения энергии магнитного взаимодействия частиц ( $\mu_m \sim H^2$ ) и энергии турбулентного потока ( $\mu_t \sim \omega^2$ ). Такое соотношение определяется известным критерием Альфвена  $Al = \mu_0 H^2 / \rho \omega^2$  [7, с. 46]. С учетом линейных зависимостей  $\beta =$

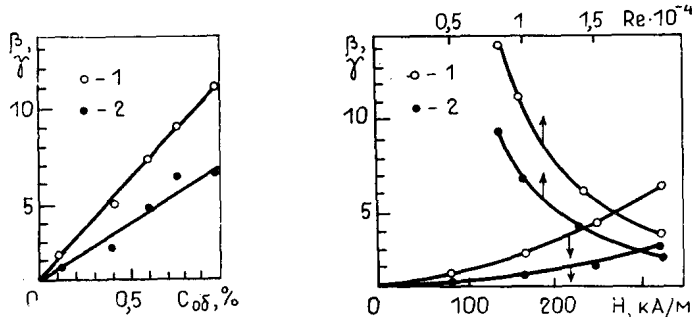


Рис. 4. Влияние концентрации MPC на относительное увеличение гидросопротивления и теплоотдачи в поперечном поле: 1 —  $\beta$ ; 2 —  $\gamma$ .  $H=320 \text{ kA/m}$ ,  $Re=9600$ .

Рис. 5. Зависимость относительного увеличения гидросопротивления и теплоотдачи от числа Рейнольдса ( $H=320 \text{ kA/m}$ ) и напряженности поперечного поля ( $Re=1,4 \cdot 10^4$ ): 1 —  $\beta$ ; 2 —  $\gamma$ .  $c_{0\delta}=1\%$ .

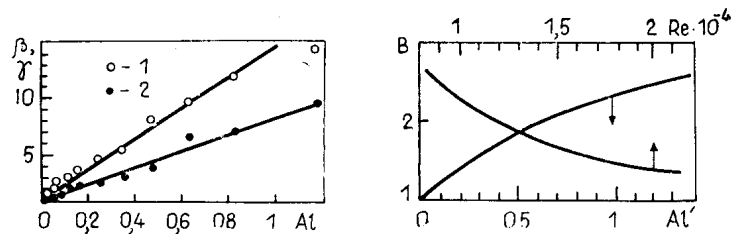


Рис. 6. Влияние поперечного магнитного поля: 1 —  $\beta$ ; 2 —  $\gamma$ .

Рис. 7. Зависимость чистого выигрыша в теплоотдаче от числа Рейнольдса ( $H=320$  кА/м;  $c_{об}=1\%$ ) и приведенного числа Альфвена.

$=\beta(c_{об})$  и  $\gamma=\gamma(c_{об})$  удобнее пользоваться приведенным критерием Альфвена  $Al'=Alc_{об}$ .

Представив все экспериментальные данные в координатах  $\beta$ ,  $\gamma$ — $Al'$  и проводя математическую обработку результатов, получаем линейную зависимость эффекта от  $Al'$  (рис. 6) вида  $\gamma=1+kx$ . В случае гидросопротивления коэффициент  $k$  равен 13,5, а с учетом доверительного интервала, в котором с вероятностью  $P=0,9$  он может находиться,  $k=13,5 \pm 1,3$ . Для теплообмена  $k=7,5 \pm 0,8$ .

Таким образом, темп увеличения гидросопротивления и теплообмена турбулентного потока слабоконцентрированной МРС в трубе под воздействием поперечного магнитного поля можно прогнозировать по следующим эмпирическим формулам:

$$\beta=1+(13,5 \pm 1,3)Al'; \quad \gamma=1+(7,5 \pm 0,8)Al' \quad (5)$$

или, перейдя к исходным величинам:

$$\xi_h=\xi+\frac{(13,5 \pm 1,3)\mu_0 H^2 c_{об}}{\rho \omega^2}; \quad Nu_h=Nu+\frac{(7,5 \pm 0,8)\mu_0 H^2 c_{об}}{\rho \omega^2}, \quad (6)$$

где  $\xi$  и  $Nu$  — величины, определяемые по формулам (3).

Зависимости (5), (6) справедливы для интервала  $0 \leqslant Al' \leqslant 1,2$ , что соответствует диапазону изменения  $0 \leqslant H \leqslant 320$  кА/м,  $1 \text{ м/с} \leqslant \omega \leqslant 2,4 \text{ м/с}$ ,  $0 \leqslant c_{об} \leqslant 0,01$ ,  $8 \cdot 10^3 \leqslant Re \leqslant 20 \cdot 10^3$ .

Как и в традиционных способах интенсификации теплообмена [8], в наших опытах рост гидросопротивления опережает увеличение  $Nu$ . Представляет интерес проследить характер изменения чистого выигрыша в теплообмене  $B=Nu_h/Nu_*$ , где  $Nu_*$  — интенсивность теплоотдачи на стенке трубы в отсутствие поля, но при большей скорости течения МРС, такой, когда выполняется условие  $\Delta p_h=\Delta p_{h=0}$ . Учитывая, что в турбулентном режиме  $\Delta p \sim \omega^{1,75}$ ,  $Nu \sim \omega^{0,8}$  (см. (2), (4)), получаем

$$B=\gamma/\beta^{0,457}. \quad (7)$$

На рис. 7 приведена зависимость выигрыша от  $Al'$  и  $Re$ , построенная по зависимости (7), из которой видно, что величина  $B$  во всем диапазоне изменения параметров больше единицы и возрастает на режимах с малыми числами  $Re$ , по-видимому, достигая наибольшего значения в зоне, граничащей с переходной, но непременно в турбулентной области.

2. Продольное поле оказывает противоположное воздействие, вызывая снижение гидросопротивления и интенсивности теплоотдачи (рис. 8).

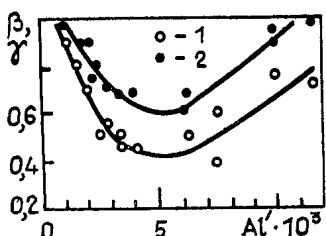


Рис. 8. Влияние продольного магнитного поля: 1 —  $\beta$ ; 2 —  $\gamma$ .

В отличие от поперечного поля здесь зависимости  $\beta(Al')$  и  $\gamma(Al')$  имеют немонотонный характер с максимальным эффектом  $\beta=0,45$ ,  $\gamma=0,65$  при  $Al'=5 \cdot 10^{-3}$ . С ростом  $Al'$  эффект уменьшается и при значении  $14 \cdot 10^{-3}$  практически исчезает. К сожалению, имеющийся соленоид не позволял создавать поле большой напряженности и соответственно достигать больших значений  $Al'$ .

Полученные результаты влияния магнитного поля на реодинамику турбулентного потока МРС качественно отличаются от данных аналогичных опытов с коллоидными ферромагнитными жидкостями [9, 10], в которых отмечается незначительное снижение ( $\sim 10\%$ )  $\xi$ . При этом ферржидкость рассматривалась как гомогенная среда вследствие весьма малых размеров частиц (порядка 1 нм), а поле — как объемная сила, и независимо от ориентации силовых линий относительно потока имело место подавление одной из пульсационных составляющих скорости, что и приводило к снижению  $\xi$  [10].

В МРС механизм воздействия на течение иной. По-видимому, в этом случае имеет место взаимодействие турбулентной несущей среды с некоторой образованной полем из частиц ферромагнетика динамической микроструктурой (имеются в виду сносимые потоком несущей среды анизодиаметричные агрегаты, изменяющие свои геометрические параметры в зависимости от величины локальных напряжений). Время образования такой микроструктуры [11]

$$t_p = \eta / 0,35 c_{об} \mu_0 \kappa H^2, \quad (8)$$

где  $\kappa$  — магнитная восприимчивость агрегата, имеет порядок 1 мс и значительно меньше времени пребывания частиц в области действия поля  $\sim 0,5$  с. Вследствие ориентирующего действия поля анизодиаметричные агрегаты вносят некоторую детерминированность в случайный характер турбулентного потока, что определенным образом сказывается на гидросопротивлении и конвективном теплообмене. Так, в поперечном поле элементы микроструктуры ориентированы перпендикулярно потоку. Это, вероятно, усиливает поперечные пульсации скорости жидкости-носителя и тем самым повышает турбулентное трение и перенос тепла. Кроме того, с увеличением размера и соответственно массы элементов дисперской фазы вследствие агрегирования частиц возрастает относительная скорость движения фаз, приводящая к дополнительной турбулизации как ядра потока, так и вязкого подслоя. При этом с увеличением  $Al'$  агрегаты становятся прочнее и крупнее, что, как показали эксперименты, вызывает линейный рост  $\beta$  и  $\gamma$ .

В продольном поле анизодиаметричные элементы динамической микроструктуры располагаются вдоль оси течения, способствуя тем самым гашению поперечных пульсаций, что и приводит к уменьшению  $\xi$  и  $Nu$ . При этом имеют место два механизма, противоположно влияющих на характеристики потока с ростом  $Al'$ : упрочнение агрегатов и более эффективное гашение пульсаций, с одной стороны, и увеличение размеров агрегатов и дополнительная турбулизация — с другой. По-видимому, с таким конкурирующим воздействием можно связать экстремальный характер зависимостей  $\beta(Al')$  и  $\gamma(Al')$  в продольном магнитном поле.

В дальнейшем для более полного и корректного описания механизма воздействия магнитных полей на турбулентное течение МРС предполагается провести исследования с привлечением современных методов диагностики турбулентности, в том числе и ее тонкой структуры.

## СПИСОК ЛИТЕРАТУРЫ

1. Шульман З. П., Кордонский В. И. Магнитореологический эффект. Минск: Наука и техника, 1982. 184 с.
2. Шульман З. П., Кордонский В. И., Зальцгендер Э. А., Прохоров И. В., Хусид Б. М., Демчук С. А. Структура, магнитные и реологические характеристики ферросупспензий (эксперимент). — Магнитная гидродинамика, 1984, № 3, с. 3—10.

3. Шульман З. П., Кордонский В. И., Зальцгендлер Э. А., Прохоров И. В., Хусид Б. М., Демчук С. А. Динамические и физические свойства ферросуспензий со структурой, перестраиваемой внешним магнитным полем. — Магнитная гидродинамика, 1984, № 4, с. 30—38.
4. Фортье А. Механика супензий. М.: Мир, 1971. 264 с.
5. Кордонский В. И., Прохоров И. В., Демчук С. А., Иванов В. Е. Метод измерения теплопроводности жидкости в магнитном поле. — В кн.: Электрореология: исследования и приложения. Минск: ИТМО АН БССР, 1981, с. 123—132.
6. Жукаускас А. А. Конвективный перенос в теплообменниках. М.: Наука, 1982. 472 с.
7. Блум Э. Я., Михайлов Ю. А., Озолс Р. Я. Тепло- и массообмен в магнитном поле. Рига: Зинатне, 1980. 356 с.
8. Берглс А. Интенсификация теплообмена. — В кн.: Теплообмен. Достижения. Проблемы. Перспективы. М.: Мир, 1981, с. 145—192.
9. Майоров М. М., Блум Э. Я., Малмакис А. Е. Экспериментальное исследование гидравлики турбулентного феррогидродинамического течения в круглом канале. — Магнитная гидродинамика, 1975, № 4, с. 143—145.
10. Kouzou Sudou, Yuiko Tomita, Ryuichiro Yamane, Yukio Ishibashi, Hidekazu Otowa. Ferrromagnetic fluid flow through a circular channel. — Bulletin of JSME, 1983, vol. 26, N 222, p. 2120—2128.
11. Шульман З. П., Городкин С. Р., Кордонский В. И. Турбулентное течение и теплообмен магнитореологической супензии в постоянном магнитном поле. — В кн.: Тезисы докладов IV Всесоюзной конференции по магнитным жидкостям (г. Плес, 14—16 мая 1985 г.). Иваново: Ивановский энергетический институт, 1985, с. 175—176.

Поступила 2 декабря 1985 г.